### ❖经验交流

# Imaging features of giant-cell reparative granuloma outside maxilla and mandible 颌骨外巨细胞修复性肉芽肿影像特征

王 乾,任翠萍,王 姗,李 飞,孙 因,程敬亮 (郑州大学第一附属医院磁共振科,河南郑州 450052)

[Key words] Giant-cell reparative granuloma; Magnetic resonance imaging; Tomography, X-ray computed

[关键词] 巨细胞修复性肉芽肿;磁共振成像;体层摄影术,X线计算机

**DOI:** 10. 13929/j. 1003-3289. 201703167

「中图分类号」 R739.8; R445 「文献标识码」 B 「文章编号] 1003-3289(2017)09-1431-03

巨细胞修复性肉芽肿(giant-cell reparative granuloma, GCRG)是一种修复性反应,具有局部侵袭性,属罕见的非肿瘤性良性病变,仅占骨良性病变的 $7\%^{[1]}$ 。GCRG 最常发生于颌骨,颌骨外侵犯少见。本研究回顾性分析 9 例颌骨外 GCRG 的 MRI 或 CT表现,以提高对本病的诊断能力。

#### 1 资料与方法

1.1 一般资料 回顾性分析 2012 年 12 月—2017 年 2 月经病理证实为 GCRG 的 9 例患者的临床及影像学资料,男 4 例,女 5 例,年龄 11~46 岁,中位年龄 27.5 岁。其中 2 例分别于 1 周前和 1 年前有外伤史,2 例分别于 1 年前行脑膜瘤切除术和鼻窦肿物切除术,余 5 例无外伤或手术病史。术前 8 例接受 MR 检查,其中 5 例接受 DWI,5 例接受增强扫描;5 例接受 CT 检查,其中 1 例接受增强扫描。

#### 1.2 仪器与方法

1.2.1 MR 检查 采用 Siemens Verio 或 Skyra 3.0T MR 扫描仪。扫描序列及参数: 矢状位、冠状位、轴位 SE 序列 T1WI, TR  $320\sim740$  ms, TE  $9\sim32$  ms; 矢状位、冠状位、轴位 SE 序列 T2WI, TR  $3.200\sim4.500$  ms, TE  $90\sim120$  ms; 矢状位、冠状位、轴位脂肪抑制 T2WI, TR  $4.000\sim5.400$  ms, TE  $48\sim53$  ms; 冠状位脂肪抑制质子密度加权像,TR  $2.200\sim3$ ,600 ms, TE  $11\sim29$  ms。 DWI 扫描采用 SE-EPI 序列,TR

[第一作者] 王乾(1992—),女,河南安阳人,在读硕士,医师。研究方向:骨骼肌肉系统 MRI。E-mail: mmqian119@163.com

[收稿日期] 2017-03-30 [修回日期] 2017-06-01

 $3~900\sim4~200~ms$ , TE  $84\sim96~ms$ , b=0,  $1~000~s/mm^2$ 。 动态增强扫描以高压注射器经肘静脉注射 Gd-DT-PA, 剂量 0.2~ml/kg体质量, 行轴位、矢状位、冠状位 TSE 序列 T1WI 扫描。

1.2.2 CT 检查 采用 Siemens Somatom Definition AS 128 排 CT 扫描仪。扫描范围: 颞部病变自乳突尖至岩锥上缘; 鼻窦病变自硬腭至额窦顶部; 髂骨病变自髋臼上缘至小粗隆下缘; 第 1 掌骨病变包括整个手掌。扫描参数: 管电压 120 kV, 管电流 350 mA, 层厚5 mm, 层间距 10 mm, 螺距 1.2。增强扫描所用对比剂为碘海醇(300 mgI/ml), 采用高压注射器经肘静脉注射, 剂量 90 ml, 流率 3.0 ml/s。

#### 2 结果

9 例均为单发,病灶位于颞骨 4 例,颞窝及颞下区 1 例,髁突 1 例,鼻窦(筛窦、蝶窦)1 例,掌骨 1 例,髂骨 1 例。5 例临床表现为病变处肿物,3 例表现为病变部位肿胀,1 例无明显症状;2 例伴疼痛,4 例伴不同程度的感觉障碍。

2.1 MR表现 8 例接受 MR 检查患者,平扫 T1WI 均以低信号为主(图 1A),其中 3 例病灶内可见点片状稍高信号。6 例 T2WI 以低信号为主,其中 5 例病灶内可见点片状高信号(图 1B、2A);2 例 T2WI 以等或稍高信号为主,其中 1 例可见数个液液平面。脂肪抑制 T2WI 及质子加权像显示 8 例均为混杂信号。5 例接受 DWI 的患者中,3 例 DWI 图像以低信号为主,2 例以高信号为主。5 例接受增强扫描的患者中,除 1 例表现为较均匀强化外,其余 4 例均表现为不均匀强化(图 1C)。

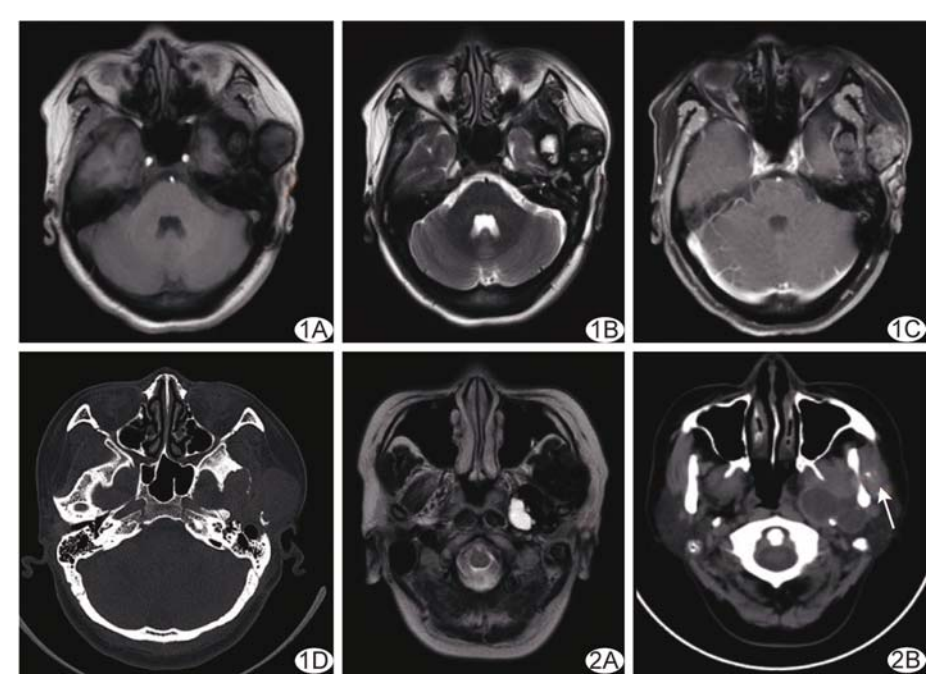


图 1 患者女、36岁,脑膜瘤术后发现颞部肿块 1 年余 A. T1WI 呈长 T1 信号; B. T2WI 呈混杂短 T2 信号,左侧乳突内见长 T2 信号; C. MR 增强扫描病灶呈不均匀轻度强化; D. CT 平扫(骨窗)可见骨质破坏,未见明显硬化边 图 2 患儿男、11岁,左侧颞窝不规则巨大团块状肿物 A. T2WI 呈短 T2 信号,内见片状长 T2 信号; B. CT 平扫示左侧颞骨膨胀性溶骨性破坏,未见明显硬化,病变内见散在点状致密影(箭)

2.2 CT表现 5 例接受 CT 检查的患者,均表现为膨胀性溶骨性改变,伴大范围骨质破坏(图 1D)。其中 2 例表现为周边部分或少许硬化,3 例未见明显硬化。3 例肿瘤内部见点线状的骨化或残余骨(图 2B),2 例未见明显致密影。3 例肿瘤边界光整,2 例边界欠光整。1 例增强扫描表现为轻微点线状不均匀强化。

#### 3 讨论

3.1 临床特点 GCRG 可发生于任何年龄,多见于20~30 岁女性[1-2]。该病发病机制不明,有学者[1]认为是外伤引起骨内出血而继发的修复性反应,另有学者[3]认为是骨内出血形成炎症从而诱发巨细胞增生。本组 9 例中,除 2 例有外伤史、2 例有手术史外,其他 5 例均无相应病史。GCRG 最常发生于颌骨(约 36%),其次手足短管状骨(约 24%)、颅面骨(约 9%)[1],较少侵犯其余部位骨骼。本组中最常见发病部位为颞骨(4/9,44.44%),提示颞骨为颌骨外 GCRG 的高发部位。

#### 3.2 影像学表现

3.2.1 MRI 因 GCRG 内含大量梭形成纤维细胞和 胶原纤维,并常伴含铁血黄素沉积,典型 GCRG 表现 为 T2WI 以低信号为主[3-4],合并囊变、坏死时,T2WI

可见点片状较亮的高信号,本组 6 例(6/8,75.00%)病灶内可见 点片状高信号。本组 T1WI 显示 8 例(8/8,100%)均以低信号为 主。当合并新鲜出血时,T1WI 可见点片状稍高信号[2-4],本组3 例(3/8,37.50%)病灶内可见点 片状稍高信号。由于 GCRG 富 含纤维细胞,DWI 多表现为明显 低信号,含有炎性单核细胞的部 位则表现为稍高信号[3-4]。本组 3 例 (3/5,60.00%)以低信号为 主,2 例(2/5,40.00%)以高信号 为主。因 GCRG 常合并出血、囊 变及坏死,增强扫描多呈不均匀 强化。

3.2.2 CT GCRG 以膨胀性溶骨性骨质破坏为特征,可见软组织密度。病灶内可见囊变、坏死形成的低密度影,也可见出血或含成熟胶原纤维组织所致的稍高密度影<sup>[3]</sup>。肿瘤呈膨胀性生长,

导致骨皮质变薄,变薄的骨皮质不完整且有硬化边形成。但本组仅 2 例(2/5,40.00%)可见病变周围硬化,可能与肿瘤大小及病程长短有关。GCRG 病灶内常见点片状致密密度,普遍认为是残留骨,且发病时间越长骨质破坏越明显,残留骨影越清晰<sup>[1,3]</sup>。本组中 3 例(3/5,60.00%)病灶内可见高密度残留骨,且发病时间均在 1 年以上。

3.3 鉴别诊断 GCRG 主要需与以下疾病鉴别:①骨巨细胞瘤,约 45%~62%发生于长骨干骺端,无性别差异<sup>[5]</sup>,MR 检查可见特征性"皂泡样"改变;不同于GCRG,骨巨细胞瘤新鲜出血少见,且病灶内通常无局灶性残留骨。②动脉瘤样骨囊肿,发病年龄较小,但与GCRG 病理改变相似,有研究<sup>[6]</sup>报道 GCRG 是动脉瘤样骨囊肿的终末期表现,但动脉瘤样骨囊肿病灶主要由大小不等的血腔组成,表现为多个可见液液平面的含液囊腔,且多见囊状膨胀性骨破坏。

综上所述,领骨外 GCRG 影像表现有一定的特征性,常发生于颞骨;MRI 信号表现多样,以 T2WI 低信号为主,增强扫描病灶呈斑片状强化;CT 多表现为软组织肿块,膨胀性溶骨性破坏可有硬化边,病灶内可见残留骨。GCRG 虽为良性病变,但具有侵袭性,加强

对 GCRG 影像表现的认识有利于对其进行早期诊断和治疗。

#### [参考文献]

- [1] Takata Y, Hidaka H, Ishida K, et al. Giant cell reparative granuloma of the temporal bone successfully resected with preservation of hearing. J Laryngol Otol, 2013,127(7):716-720.
- [2] 付岩宁,金鑫,金花兰,等.CT和 MRI分析颞骨巨细胞修复性肉芽肿.中国医学影像学杂志,2016,24(6):430-432.
- [3] Kim HJ, Lee HK, Suh DC, et al. Giant cell reparative granuloma of the temporal bone: MR findings with pathologic correlation.

  AJNR Am J Neuroradiol, 2003, 24(6):1136-1138.
- [4] 汪庆余, 苏晓燕, 龚良庚, 等. 颞骨巨细胞修复性肉芽肿 2 例报道 并文献分析. 临床与实验病理学杂志, 2012, 28(6):684-686.
- [5] 石大发,熊浩,王玉蕊,等.CT 值直方图鉴别诊断骨巨细胞瘤与动脉瘤样骨囊肿的效能.中国医学影像技术,2017,33(1):97-100.
- [6] 曾效力,陈卫国,邓凤贤,等. 动脉瘤样骨囊肿 CT 与 MRI 征象分析. 中国医学影像技术, 2007, 23(5):744-747.

## 《中国医学影像技术》投稿要求(二)

2

- 12 关键词 中文关键词应以《医学主题词注释字顺表(2002年版)》为准,以标引能表达全文主题概念的叙词 2~5个,尽量少用自由词。英文关键词应与中文对应,以《医学主题词注释字顺表(2002年版)》及《Mesh》内所列的主题词为准,每个英文关键词第一个词的首字母大写,各关键词之间用分号隔开。
- **13 正文标题层次** 如:1 资料与方法(或材料与方法),1.1 资料(或材料),1.2 方法,2 结果,3 讨论,一般不超过三级标题,文内连序号为圈码,如①、②、③······表示。
- 14 医学名词 应注意规范、标准、前后统一,尽量少用缩略语,原词过长且在文中多次出现(2次以上)者,可于括号内写出全称并加注简称,以后用简称。医学名词术语,以全国科学技术名词审定委员会审定公布的医学名词为准。
- **15** 计量单位 采用国际单位制并严格执行国家标准 GB  $3100 \sim 3201$ 《量和单位》的规定,使用法定计量单位,不再使用 N(当量浓度)、M(克分子浓度)、百分比浓度[%(V/V)、%(m/m)]等已废除的非标准计量单位和符号。
- 16 统计学符号 以国家标准 GB/T 3358. 1-1993《统计学名词及符号》为准,样本算术平均数用英文小写斜体  $\overline{x}$ ;标准差用英文小写斜体 s; t 检验用英文小写 t; F 检验用英文大写 F; 卡方检验用希文斜体  $\chi^2$ ; 相关系数用英文小写斜体 r; 自由度用希文斜体  $\gamma$ ; 概率用英文大写斜体 P; 样本数用英文小写斜体 n。
- **17 统计学方法** 需注明使用的统计学软件名称和版本,以及所使用的统计学方法。率的计算保留小数点后两位,年龄需要提供 $\bar{x}$ 或者中位年龄,保留小数点后一位。
- 18 图片 研究论著类论文和短篇报道均需附有相应患者的影像学资料,图片分辨率应在 300 dpi 以上, JPG/JEPG 格式,有良好的清晰度和对比度,最好是医院图像工作站中直接提取的图像。每图下面应标有图序号、图题、图说(解释图片内容的文字),文中应有图位。图中箭示或文字应有说明,病理图应注明染色方法及放大倍数。
  - 19 表格 本刊采用三线表,表格列于文后,每表应标有表序号、表题,文中应有表位。
- **20 参考文献** 严格按照国家标准 GB 7714-2015《文后参考文献著录规则》中规定,采用"顺序编码制"。仅限于作者直接阅读的近 5 年的文献,尽量不用二次文献,无特殊需要不必罗列众所周知的教科书或某些陈旧史料,提倡引用国内外同行新近发表的研究论文为参考文献,引用论点必须准确无误,不能断章取义。除短篇报道外,论文参考文献应至少来源于 5 种以上的期刊,研究论著类论文参考文献不少于 13 条,综述类论文参考文献应在 20 条以上,以反映论文的科学依据,以及对前人科学工作的继承性。参考文献的编排应按每条文献在文中出现的先后顺序逐条列于文后,并在文内引用处用右上角加方括号注明角码。